

بررسی تحولات ماقمایی در توده گرانیتی نصرند و دایک‌های همراه آن

زهرا حمزه‌ای^۱، علی کنانیان^{(۲)*}، فاطمه سرجوقیان^۲ و جمشید احمدیان^۳

۱. کارشناسی ارشد پترولولری، دانشکده زمین‌شناسی، پردیس علوم، دانشگاه تهران

۲. استاد دانشکده زمین‌شناسی، پردیس علوم، دانشگاه تهران

۳. استادیار گروه علوم زمین، دانشکده علوم، دانشگاه کردستان

۴. استادیار گروه زمین‌شناسی، دانشگاه پیام نور، تهران

تاریخ دریافت: ۹۲/۰۲/۲۴

تاریخ پذیرش: ۹۲/۱۱/۱

چکیده

توده گرانیتی نصرند در جنوب شرق اردستان با ترکیب سنگ‌شناسی گرانیت و گرانوپیوریت، پس از اتوسن در داخل سنگ‌های آتش‌شکنی اتوسن تزریق شده و با دایک‌های دارای روندهای شمال‌غربی-جنوب‌شرقی قطع شده است. سنگ‌های گرانیتی دارای بافت‌های دانه‌ای، پرتیتی، گرانوفیری و پوئی کلیتیک می‌باشند. برخی پلاژیوکلازها بافت غربالی و زونینگ نشان می‌دهند و در برخی نمونه‌ها نیز شاهد حضور دو نسل مختلف پلاژیوکلاز می‌باشیم. وجود بافت‌های غیرتعادلی مشخص در سنگ‌های گرانیتی حاکی از آن است که علاوه بر فرایند تفریق بلوری، اختلاط ماقمایی نیز در شکل‌گیری و تحول آن‌ها نقش داشته است. از بررسی نحوه توزیع اندازه بلورها (CSD) برای ارزیابی شرایط تبلور و فرایندهای ماقمایی موثر در تشکیل سنگ‌های منطقه استفاده شده است. در نمونه‌های گرانیتی و دایک‌ها، روند افزایشی اندازه بلورهای فلدوپار در نمودارهای نیمه لگاریتمی تغییرات اندازه در برابر چگالی جمعیتی کانی‌ها، نشان‌دهنده عملکرد تبلور و تفریق بلوری است و در عین حال وجود شکستگی و انحنا در نمودارهای نیمه لگاریتمی تغییرات چگالی تجمعی بلورهای پلاژیوکلاز و ارتوکلاز در برابر اندازه آن‌ها، موید عملکرد فرایند اختلاط ماقمایی در حین شکل‌گیری نمونه‌ها به خصوص گرانیت‌ها است. در ضمن روند تغییرات Rb در برابر Rb/Sr و روند افزایشی Nb در برابر Y/Nb در کنار سایر داده‌های ژئوشیمیابی، تایید کننده وقوع فرایند اختلاط ماقمایی در این سنگ‌ها است.

واژه‌های کلیدی: گرانیت، اختلاط ماقمایی، توزیع اندازه بلورها، تفریق بلوری

می‌تواند مکمل و موید نتایج ژئوشیمیابی باشد.

توزیع اندازه دانه‌ها در سه بعد (CSD) می‌تواند اطلاعات مفیدی برای حل مسائل پترولولریکی در اختیار محققین قرار دهد (Cashman, 1990; Marsh, 1988; Marsh and Cashman, 1988). در این پژوهش با کمک تکنیک CSD طول و یا قطر بلورها (Cashman, 1993) اندازه‌گیری شده است و با تحلیل نتایج حاصله، تاریخچه تبلور، میزان رشد و زمان توقف ماقمای سازنده سنگ‌های نفوذی منطقه بررسی شده است. Randolph and Larson (1971) از اولین محققانی بودند که به

مقدمه

طی تکامل ماقمایی، فرایندهایی مانند تفریق بلوری، هضم و اختلاط ماقمایی در سرنوشت ماقما تاثیر بسزایی دارند. محققان بسیاری کوشیده‌اند که فرایندهایی که در تشکیل و تحول ماقما موثر می‌باشند را شناسایی کرده و به سرشت ماقما پی ببرند. یکی از متداول‌ترین روش‌ها، بررسی ویژگی‌های ژئوشیمیابی سنگ‌های حاصل از تبلور ماقما است که تا حدودی می‌تواند به درک و شناخت فرایندهای ماقمایی دخیل در تکامل ماقما کمک نماید. از روش‌های نوین دیگر استفاده از تکنیک^۱ CSD است که

* نویسنده مرتبط kananian@khayam.ut.ac.ir

همجوار در پهنه ماقمایی ارومیه - دختر نیز سن‌های مشابهی را نشان می‌دهند که از آن جمله می‌توان به سن اوایل تا اواسط میوسن توده نفوذی ظفرقدن (قفاری، ۱۳۸۹) و سن الیگومیوسن توده نفوذی نظر (Pourhosseini, 1981) اشاره نمود.

در محلوده نقشه زمین‌شناسی ۱:۱۰۰۰۰۰ شهراب، سنگ‌های پرکامبرین و پالئوزوئیک گزارش نشده است. قدیمی‌ترین واحدهای سنگی این ناحیه، رخمنونهایی از آهک، رادیولاریت و گدازه‌های بالشی ژوراسیک و کرتاسه در جنوب غرب و غرب اردستان هستند که توسط گسل بزرگ قم - زفره از سنگ‌های ائوسن جدا شده‌اند. پالئوسن با نبود چینه‌شناسی و ائوسن با سنگ‌های آتش‌فشنایی و آتش‌فشنایی - رسوبی با ترکیب آندزیت بازالتی، تراکی بازالت، لاتیت، آندزیت، کوارتز‌آندزیت، تراکیت، داسیت، ریولیت، ریوداسیت و ایگنوبیریت مشخص می‌شود.

توده نفوذی مورد مطالعه با ترکیب گرانیت و گرانوپیوریت درشت‌دانه، با رنگ سفید مایل به صورتی به درون واحدهای آتش‌فشنایی ائوسن با ترکیب آندزیت، ریولیت و داسیت نفوذ کرده و دارای مرز ناگهانی با واحد آتش‌فشنایی است. این توده توسط دایک‌های دلریتی نسبتاً دانه‌ریز به رنگ خاکستری و سیاه و با ضخامت‌های بین ۰/۵ تا ۱ متر و با روند شمال‌غرب - جنوب‌شرق قطع شده است. تعدادی از دایک‌ها به درون واحدهای آتش‌فشنایی نیز وارد شده‌اند و باعث دگرسانی آن‌ها در حد کلریتی شدن و اپیدوتی شدن شده‌اند.

رونده‌کلی توده شرقی - غربی است و بر اساس تقسیم‌بندی پهنه‌های ساختارتی - رسوبی ایران (آفانباتی، ۱۳۸۳) در زون ساختارتی ارومیه - دختر واقع شده است. کمریند تکتونوماقمایی ارومیه - دختر یک کمان ماقمایی نوع آندی است که در طی کوهزایی آپی شکل گرفته (Berberian, 1982) و با فعالیت‌های آذرین ائوسن - میوسن از گابرو تا گرانیت توان بوده است (Shahab, Aftabi and Atapour, 2000). اکثر محققان از جمله (Nowroozi, Moine-Vaziri (1971), Berberian (1981) و (pour, 2005) این ناحیه را ناشی از فرورانش لیتوسفر اقیانوسی تیس جوان به زیر ایران مرکزی قلمداد کرده‌اند.

فعالیت آتش‌فشنایی جنوب شرق اردستان در ائوسن زیرین شروع شده و در ائوسن میانی و فوکانی به اوج خود رسیده است (محمدی، ۱۳۷۴). تغییر ترکیب سنگ‌های آتش‌فشنایی از آندزیت بازالتی در قاعده به بازالت در راس توالی، همراه با گرایش کالک‌آلکالن این سنگ‌ها، نشانه وابستگی آن‌ها به مناطق فرورانش حاشیه‌فعال قاره‌ای قلمداد شده است (یگانه‌فر، ۱۳۸۶؛ احمدوند، ۱۳۸۷). در همین راستا، مجلل (۱۳۷۹) معتقد است حاکم شدن تکتونیک بشی ناشی از فرورانش پوسته اقیانوسی تیس جوان به زیر ایران مرکزی عامل ایجاد فضای کششی لازم برای خروج مواد مذاب در زون ارومیه - دختر بوده است.

روش کار

پس از مطالعات صحرایی و نمونه‌برداری از سنگ‌های نفوذی

معرفی کاربرد تکنیک توزیع اندازه بلورها در گدازه‌ها پرداختند. بعد این روش توسط Marsh (1988) به عنوان یک روش کاملاً علمی توسعه یافت و براساس مطالعات نامبرده، نرم‌افزار CSD Correction (Higgins, 2000) طراحی شد. با تکمیل CSD مشخص شد که سرعت رشد بلورها مستقل از اندازه آن‌ها می‌باشد، اما میزان هسته‌بندی بلورها روندی عکس در برابر اندازه آن‌ها دارد؛ یعنی هرچه میزان هسته‌بندی سریع‌تر باشد بلورهای ایجاد شده اندازه کوچک‌تری خواهد داشت. بیشتر مطالعات CSD در سیستم‌های ماقمایی مافیک مانند دریاچه Cashman and Marsh, (1988; Higgins, 1998; marsh, 1998

اندازه و آرایش فضایی بلورها در سیستم‌های ماقمایی بیانگر شرایط صعود ماقمای است، به این صورت که میزان میکرولیت‌ها و میکروفنوریست‌ها در سنگ‌های خروجی حاکی از رشد بلورها در مجاری و جمعیت فنوریست‌ها نشان‌دهنده توقف ماقمای در اتفاق ماقمایی است. در مطالعات سنگ‌شناسی که قبل از روی سنگ‌های منطقه مورد مطالعه یا مناطق مجاور آن توسط محمدی (۱۳۷۴)، یگانه‌فر (۱۳۸۶)، احمدوند (۱۳۸۷) و عموزاده خلیلی (۱۳۸۸) صورت گرفته موضوع فرایندهای ماقمایی موثر بر تکامل سنگ‌های منطقه چندان مورد کنکاش واقع نشده است. در حالی که شناسایی این فرایندها می‌تواند کمک موثری به درک مراحل تکاملی و شرایط تشکیل توده نفوذی نصرند و حتی بررسی ارتباط آن‌ها با مناطق فرورانش حاشیه فعل قاره‌ای نماید. لذا در تحقیق پیش‌رو با طرح این سوال که کدام یک از فرایندهای ماقمایی تعریق، اختلاط و یا آلودگی ماقمایی نقش موثرتری بر روی نحوه تکامل و تحول سنگ‌های توده گرانیتوئیدی نصرند و دایک‌های درون آن داشته، سعی شده است با تکیه بر مطالعات توزیع اندازه بلورها (CSD) روی بلورهای پلاژیوکلاز و ارتوکلاز موجود در ۷ نمونه از سنگ‌های گرانیتی و دایک‌های دلریتی منطقه و تلفیق این اطلاعات با نتایج حاصل از مطالعات ژئوشیمیایی، شرایط تبلور ماقمای سازنده سنگ‌های منطقه را بازسازی نموده و نقش هر یک از فرایندهای احتمالی موثر بر تحولات ماقمایی سنگ‌های توده گرانیتوئیدی نصرند و دایک‌های درون آن مورد بررسی قرار گیرد.

زمین‌شناسی عمومی

توده نفوذی نصرند در جنوب شرق شهرستان اردستان و در شمال شرق استان اصفهان واقع است. این توده با وسعت تقریبی ۲۸ کیلومتر مربع، در نقشه زمین‌شناسی ۱:۲۵۰۰۰۰ چهار گوش انارک و ۱:۱۰۰۰۰۰ شهراب در حد فاصل بین طول‌های جغرافیایی ۳۳° ۵۲' تا ۴۲° ۵۲' شرقی و عرض‌های جغرافیایی ۱۲° ۳۳' تا ۱۶° ۳۳' شمالی قرار دارد (شکل ۱). با وجودی که تا کنون بر روی این توده تعیین سن ایزوتوپی انجام نشده، سن توده را بر روی نقشه زمین‌شناسی شهراب، بعد از ائوسن (احتمالاً الیگومیوسن) در نظر گرفته‌اند (بحروفی، ۱۳۷۸). شایان ذکر است که سن‌سنجی‌های به عمل آمده بر روی توده‌های مشابه و

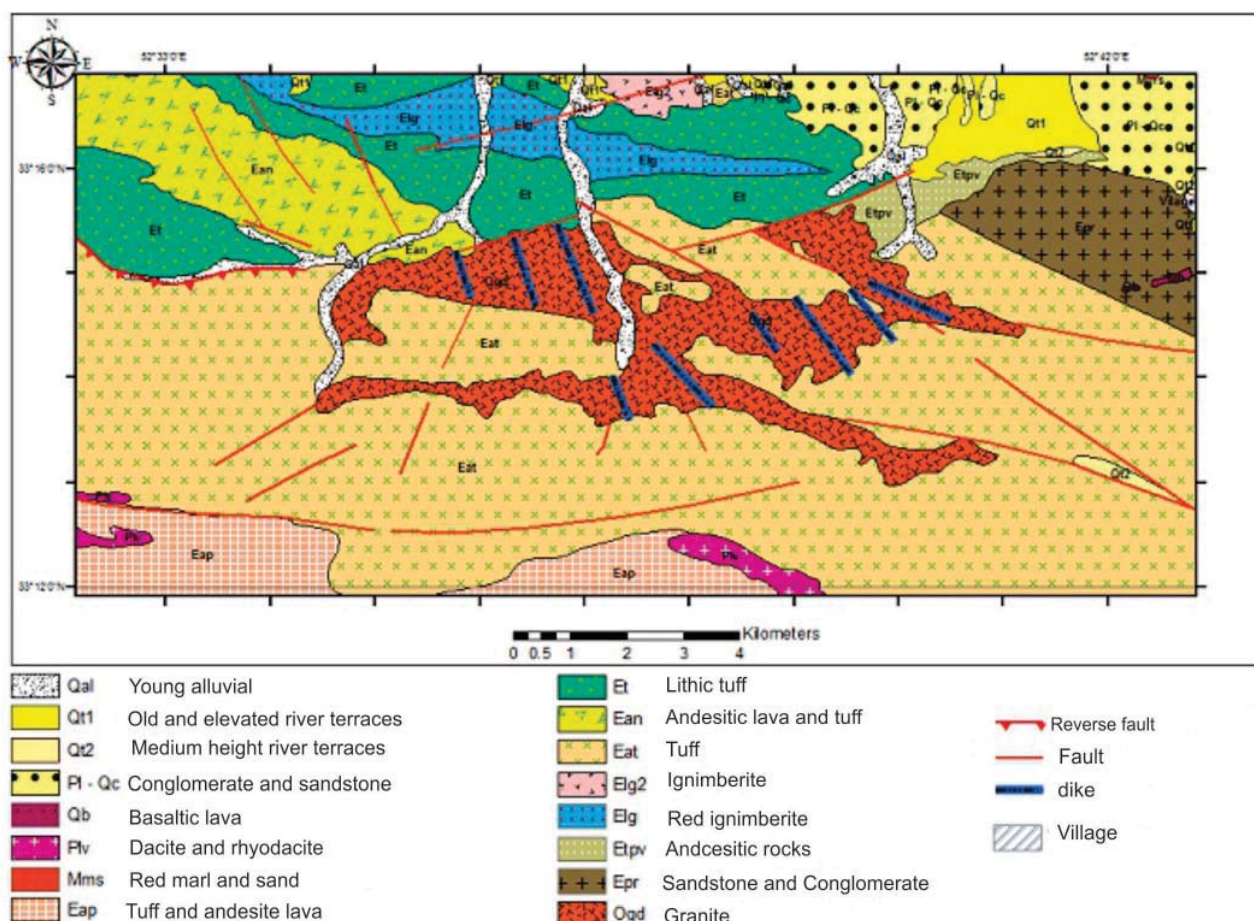
قابل تفکیک می‌باشند. گرانیت‌ها در مشاهدات صحرایی به رنگ سفید مایل به صورتی دیده شده و دانه متوسط تا دانه درشت می‌باشند.

این سنگ‌ها دارای بافت دانه‌ای، پوئی‌کلیتیک، پرتیتی و گرانوفیری هستند (شکل ۲-الف) و از کانی‌های کوارتز حدود ۲۷ تا ۵۵ درصد، ارتوکلاز ۳۲ تا ۵۰ درصد، پلاژیوکلاز ۱۲ تا ۲۵ درصد، هورنبلند سبز ۵ تا ۱۰ درصد و کانی‌های بیوتیت، آپاتیت، اسفن و زیرکن به میزان کمتر از ۵ درصد تشکیل شده‌اند. کوارتز بی‌رنگ، دارای حاشیه مضمر و خاموشی موجی است و اغلب به صورت نیمه شکل دار تا بی‌شکل در اندازه‌های کوچک تا درشت دانه دیده می‌شود و میزان آن در گرانیت‌ها نسبت به گرانودیوریت‌ها بالاتر است. ارتوکلاز اغلب به صورت بی‌شکل تا شکل دار، متوسط تا درشت دانه و با بافت پرتیتی در این سنگ‌ها دیده می‌شود (شکل ۲-ب). در برخی موارد این کانی در اثر هم‌رشدی با کوارتز، بافت گرانوفیری تشکیل داده که حاکی از تبلور سریع و هم‌زمان کوارتز و آلکالی فلدسپار از مذاب باقیمانده در اعمق کم است (Barker, 1983; Clark, 1992). پلاژیوکلاز به صورت شکل دار تا نیمه شکل دار بوده و در اندازه‌های متوسط تا درشت مشاهده می‌شود. این کانی دارای ماکل پلی‌ستنتیک و

منطقه، مطالعات پتروگرافی بر روی تعداد ۶۰ مقطع نازک انجام شد. به منظور شناسایی تاریخچه تبلور، میزان رشد، زمان توقف ماگمای سازنده و تحولات ماغمایی توده نفوذی، ابعاد بلورهای پلاژیوکلاز و ارتوکلاز در ۷ نمونه از واحد دلربیتی و گرانیت‌های منطقه اندازه‌گیری گردید و داده‌های حاصله شامل طول، عرض و مساحت بلورها به نرم‌افزار CSD correction 1.3 انتقال یافت و نمودارهای لازم برای تعییر و تفسیر داده‌های CSD تهیه شد. در عین حال بر روی تعداد ۱۵ نمونه از سنگ‌های منطقه، آنالیزهای رئوشیمیایی به روش‌های XRF در آزمایشگاه Narouto و ICP-MS در آزمایشگاه ALS کانادا انجام شد و از نتایج حاصله برای تشخیص فرایندهای موثر در شکل‌گیری توده نفوذی استفاده شد.

پتروگرافی گرانیت‌ها و گرانودیوریت‌ها

توده گرانیتی نصرنده داخل سنگ‌های آتشفسانی اثوسن نفوذ کرده و باعث ایجاد دگرسانی‌های نسبتاً وسیع در حد رخساره شیست سبز در سنگ‌های آتشفسانی شده است. مرز بین واحد گرانیتی و گرانودیوریتی کاملاً تدریجی بوده و در صحراء به سختی



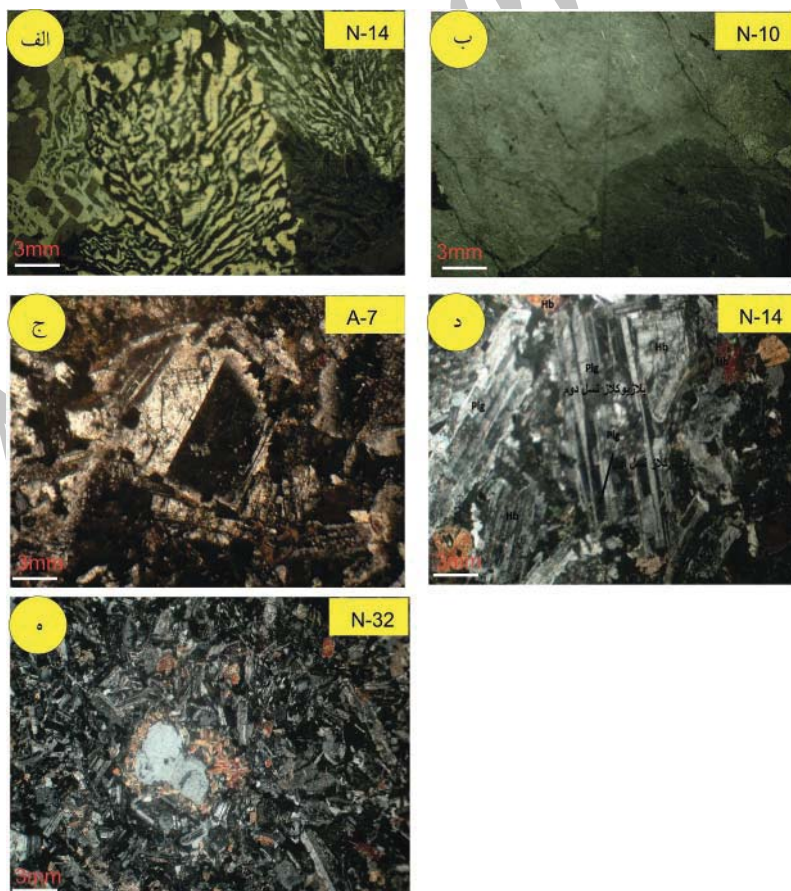
شکل ۱. نقشه زمین‌شناسی جنوب شرق اردستان با اقتباس از نقشه ۱:۱۰۰۰۰ شهراب با اندکی تغییر (بحروفی، ۱۳۷۸).

پلازیوکلاز ۴۰ تا ۶۵ درصد و هورنبلندها سبز بین ۱۵ تا ۲۵ درصد با بافت دانه‌ای هستند و در برخی موارد بافت‌های پوئی‌کلیتیک، ایترکرآنولار و افیتیک نیز نشان می‌دهند. پلازیوکلاز به عنوان کانی غالب این سنگ‌ها، به صورت شکل‌دار تا نیمه‌شکل‌دار، با ماکل پلی‌ستنتیک و یا زونینگ در نمونه‌ها یافت می‌شود و اغلب به سیوسوریت دگرسان شده است. پیروکسن شکل‌دار تا نیمه‌شکل‌دار به صورت درشت‌دانه تا دانه‌ریز ظاهر شده و در تماس با پلازیوکلازها بافت افیتیک را ایجاد نموده است. آمفیبولوها عمده‌تاً نیمه‌شکل‌دار هستند و در برخی موارد به کلریت تجزیه شده‌اند. علاوه بر آن زنوكریست‌هایی از بلورهای بی‌شکل کوارتز که با غلافی از کانی‌های دما بالا مانند پیروکسن و هورنبلندها احاطه شده‌اند نیز در این دایک‌ها مشاهده شده است (شکل ۲-۵). این پدیده می‌تواند نشان دهنده آلایش ماغمایی در اثر ورود بلور کوارتز به درون مagma مافیک و شکل‌گیری بلورهای پیروکسن در اطراف زنوكریست کوارتز بر اثر واکنش بین سیلیس موجود در کوارتز با آهن و منیزیم موجود در magma مافیک باشد (Chiara et al., 2011; Foley et al., 2013).

منطقه بندی ترکیبی می‌باشد (شکل ۲-ج). وجود منطقه‌بندی ترکیبی در این بلورها، بیانگر تغییر ترکیب و یا تغییر شرایط فیزیکوشیمیایی ماقما در حین رسیده بلور است (Holton et al., 2000). پلازیوکلازها غالباً به سریست تبدیل شده‌اند و برخی نیز در اثر سوسوریت شدن تا حدی به اپیدوت، کلسیت و کلریت دگرسان شده‌اند. در برخی موارد، پلازیوکلازها بافت غربالی نشان می‌دهند که این بافت بر اثر عدم تعادل بلور با ماقما به وجود می‌آید و ظهرور آن نشانه ناپایداری، ذوب و انحلال بخش‌های کوچکی از بلور و سپس تبلور دوباره و درجای همان بخش‌ها در داخل پلازیوکلاز می‌باشد (Vernon, 2004). همچنین در برخی نمونه‌ها شاهد حضور بلورهای کوچک پلازیوکلاز در درون پلازیوکلازهای بزرگ‌تر هستیم که می‌تواند نشانه حضور دو نسل مختلف پلازیوکلاز در سنگ‌های نفوذی منطقه باشد (شکل ۲-۲). هورنبلندها فراوان‌ترین کانی مافیک موجود در نمونه‌های مورد مطالعه است که غالباً به صورت شکل‌دار و نیمه‌شکل‌دار مشاهده می‌شود. هورنبلندها در برخی موارد دارای ادخال‌هایی از پلازیوکلاز با بافت پوئی‌کلیتیک هستند.

دایک‌های دلربی

این سنگ‌ها عمده‌تاً شامل پیروکسن در حدود ۲۰ تا ۴۰ درصد،



شکل ۲. (الف) بافت گرانوفیری در گرانیتها، (ب) بافت پرتهی در فلدسپارها، (ج) زونینگ در پلازیوکلازها، (د) پلازیوکلاز دو نسلی، (ه) زنوكریست کوارتز با غلاف پیروکسن.

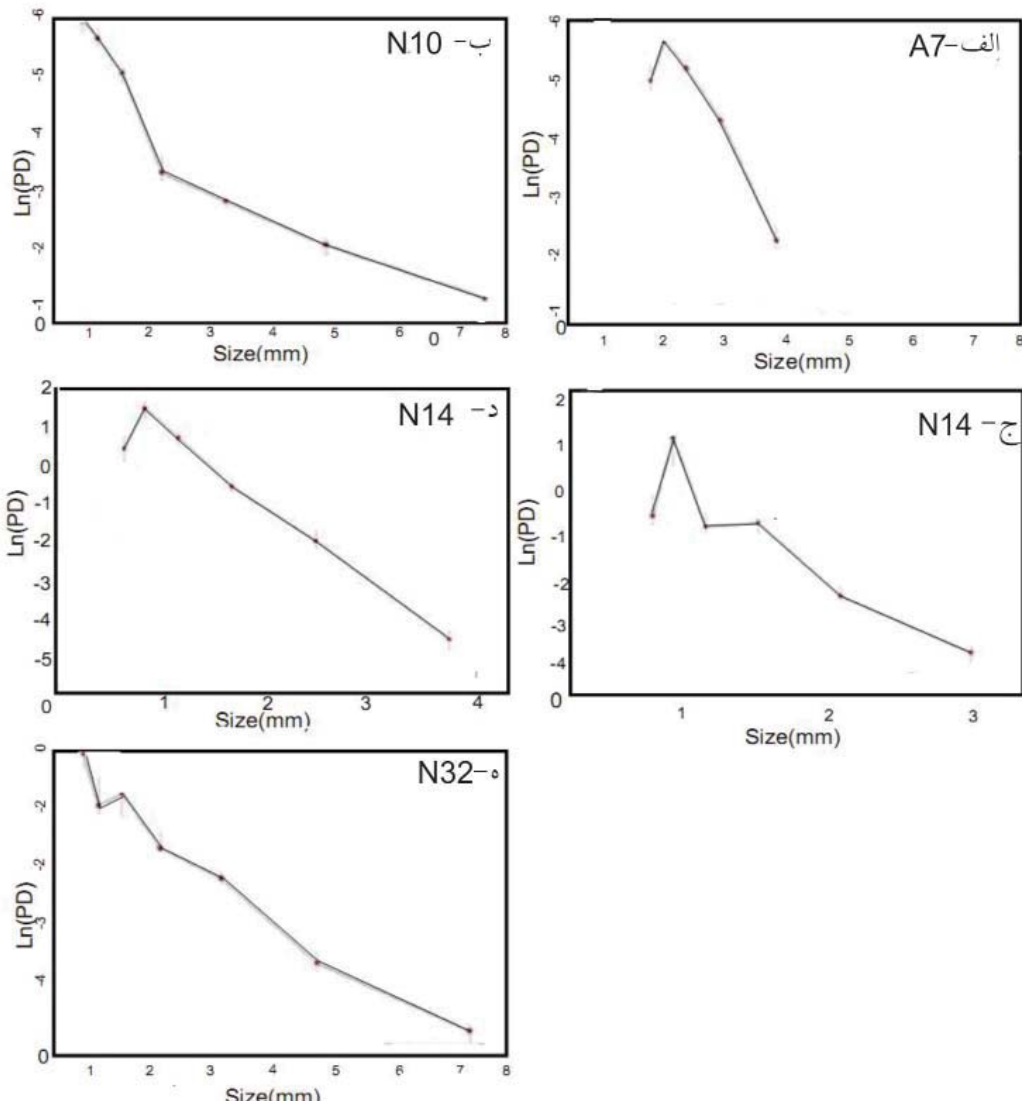
محدوده‌های ۲ سانتیمتری و ۱ تا ۲ سانتیمتری (۲ بار) دچار شکستگی شده‌اند و در شکل ۳-د ارتوکلازها در محدوده ۱ سانتیمتری شکستگی نشان می‌دهند.

نتایج اندازه‌گیری ابعاد بلورهای پلازیوکلاز و ارتوکلاز در نمونه‌های مربوط به دایک‌های دلیری، به ترتیب در نمودارهای الف و ۰ شکل ۳ نشان داده شده است. در این نمونه‌ها نیز مانند گرانیت‌ها، نمودارها دچار شکستگی و انحنا می‌باشند. در شکل ۰ نمودار در محدوده ۱ سانتیمتری و در شکل ۵ در محدوده‌های ۱، ۲، ۳، و ۵ سانتیمتری دچار شکستگی شده‌اند.

با این که شکستگی‌ها در اغلب نمونه‌ها چندان واضح خودنمایی نمی‌کنند ولی به هر حال وجود شکستگی و انحنا در نمودارها حاکی از تغییر در روند تحول ماغما بوده که می‌تواند به دلیل ورود یک مagma جدید به درون مخزن magma در حال تبلور یا Morgan et al., 2007; در اثر فرایند اختلاط magma ایجاد شود (Higgins and Roberge, 2007; Randolph and Larson 1988).

نمونه‌های انتخاب شده، از مقاطع میکروسکوپی، با بزرگنمایی ۴۰ برابر داری دیجیتالی انجام گرفت. سپس با نرم‌افزار تخصصی Jmicrivation بعد از کالیبره کردن عکس‌ها و بر اساس اندازه بزرگنمایی میکروسکوپ، ابعاد حدود ۳۰۰ بلور پلازیوکلاز و ارتوکلاز اندازه‌گیری شد. داده‌های حاصل از این اندازه‌گیری‌ها که شامل طول، عرض و مساحت بلورها است به نرم‌افزار CSD cor-reaction ۱.۳ و به کمک رابطه $n = dn/dl$ (n: محاسبه (جدول‌های dl اندازه بلورها) چگالی تجمعی دانه‌ها (n) (S-Type) ۱ و ۲) شد. در نهایت، نمودارهای نیمه لگاریتمی (mm⁻⁴) تغییرات اندازه دانه‌ها (mm) در برابر چگالی تجمعی ترسیم شدند (شکل ۳).

در نمونه‌های مربوط به توده گرانیتی، همه نمودارهای نیمه لگاریتمی تغییرات اندازه بلورهای پلازیوکلاز و ارتوکلاز در برابر چگالی تجمعی (شکل ۳-ب، ج، د)، تا حدودی شکستگی و انحنا دارند. در شکل ۳ ب و ج، پلازیوکلازها به ترتیب در



شکل ۳. الف، ب و ج) نمودار چگالی تجمعی بلورهای پلازیوکلاز در برابر اندازه، د و ۵) چگالی تجمعی بلورهای ارتوکلاز در برابر اندازه.

جدول ۱. نتایج محاسبات انجام شده بر روی ۲۰۰ بلور پلازیوکلاز

شماره نمونه	شیب نمودارهای Semi-logarithmic	عرض از مبداء در نمودارهای Semi-logarithmic	T زمان رشد (سال) بلورهای پلازیوکلاز	سرعت رشد بلورها G mmms ⁻¹	سهم حجمی بلورهای پلازیوکلاز
دلریت A7	-۲	-۲	۱۸۱	۱۰ ^{-۱۰}	۲۴
دلریت A1	-۱	-۱	۲۴۴	۱۰ ^{-۱۰}	۲۴
دلریت A13	-۲	-۲	۱۶۶	۱۰ ^{-۱۰}	۱۰
گرانیت N14	-۲	-۱	۱۷۲	۱۰ ^{-۱۰}	۶
دلریت N32	-۳	-۳	۱۲۰	۱۰ ^{-۱۰}	۱۹
گرانیت N10	-۱	۰/۶	۲۳۲	۱۰ ^{-۱۰}	۳۱

جدول ۲. نتایج محاسبات انجام شده بر روی ۱۰۰ بلور ارتوکلاز

شماره نمونه	شیب نمودارهای Semi-logarithmic	عرض از مبداء در نمودارهای Semi-logarithmic	T زمان رشد (سال) بلورهای ارتو	سرعت رشد بلورها G mmms ⁻¹	سهم حجمی بلورهای ارتو
N14	-۱	-۰/۲۲	۴۲۳	۱۰ ^{-۱۰}	۴۲
N32	-۲	۲	۲۰۳	۱۰ ^{-۱۰}	۲۷

افزایش رشد همراه با کاهش هسته‌بندی است که به افزایش اندازه و کاهش چگالی تجمعی بلورها منجر می‌شود. برای محاسبه سهم اشغال شده توسط بلورهای پلازیوکلاز و ارتوکلاز در مقاطع از فرمول $V = 6\pi n^0 C^4$ استفاده شده که در آن V سهم حجمی، n میزان هسته‌بندی و C میانگین طول بلورها است (Marsh, 1988). بر همین اساس سهم حجمی بلورهای پلازیوکلاز از $5/۱۳$ در گرانیت‌ها تا $۳۰/۴۷$ در دایک‌های دلریتی و سهم حجمی بلورهای ارتوکلاز از $۲۷/۰۱$ در دایک‌های دلریتی تا $۴۲/۲۲$ در گرانیت‌ها متغیر بوده است. زمان رشد و سرعت هسته‌بندی رابطه مستقیمی با درصد حجمی هر بلور دارد، به عبارت دیگر هرچه سرعت هسته‌بندی و زمان رشد بلور افزایش یابد، بلورها درصد بیشتری از حجم سنگ را به خود اختصاص می‌دهند. چنانچه ملاحظه می‌شود در سنگ‌های گرانیتی، با کاهش چگالی تجمعی دانه‌ها که خود متناسب با افزایش زمان است، متوسط اندازه دانه‌ها افزایش یافته و بلورهای ارتوکلاز و پلازیوکلاز فرصت بیشتری برای رشد داشته و درشت تر شده‌اند. در حالی که این بلورها در دایک‌ها اندازه کوچکتری دارند که خود مovid سردشدن سریع‌تر ماقمایی سازنده دایک‌ها نسبت به گرانیت‌ها است.

با استفاده از رابطه $n = n^0 \exp(-L/G*t)$ می‌توان چگالی تجمعی بلورها را محاسبه نمود. در این رابطه n^0 میزان هسته‌بندی نهایی (حاصل تقاطع نمودار اندازه دانه‌ها با محور چگالی تجمعی)، L اندازه دانه‌ها، G میزان رشد و t زمان توقف ماقما در مخزن ماقمایی است. ضمناً با استفاده از شیب منحنی تغییرات اندازه

ورود ماقمای جدید کم‌بلور به مخزن از یک سو می‌تواند باعث تغییر ترکیب ماقما (مثلاً فوق اشباع شدن آن) شده و از سوی دیگر می‌تواند موجب افزایش یا کاهش دمای مخزن شود که در صورت افت دمای ماقما، تقویت هسته بندی بلورها را به دنبال خواهد داشت. چنانچه در شکل ۳ الف تا ۳ ملاحظه می‌شود، در آغاز تبلور ماقما و شکل‌گیری بلورها، با کاهش چگالی تجمعی بلورها مواجه‌ایم. ولی با ورود ماقمای جدید و شروع دوباره هسته‌بندی و تبلور، چگالی تجمعی مجدد افزایش می‌یابد. همه نمودارهای نیمه‌لگاریتمی به دست آمده دارای ایننا به سمت پایین هستند که این موضوع منطبق بر روند تبلور و افزایش اندازه بلورها است (Higgins, 2002). در عین حال بروز شکستگی و ایننا به سمت بالا در نمونه‌ها نشانه حضور دو سری بلور در مخزن ماقمایی است که به ترتیب در مراحل اولیه تبلور ماقما (در دمای زیاد) و مراحل بعدی در هنگام کاهش فشار و هسته‌بندی تشکیل شده‌اند (Piochi et al., 2005; Salisbury et al., 2008; Brugger 2010). در تایید این موضوع می‌توان به حضور دو نسل پلازیوکلاز در نمونه‌های مختلف گرانیتی و دایک‌های دلریتی اشاره نمود. اگر توزیع اندازه بلورها (CSD) منحنی شکل باشد، نشانه عملکرد چندین فرایند در طول تبلور ماقما خواهد بود (Marsh, 1998). مطابق شکل ۳ (الف تا ۳) در کوچکترین CSD اندازه بلورها، بیشترین مقدار را دارا است و میزان آن متناسب با افزایش اندازه بلورها کاهش می‌یابد. در سیستم‌های باز که با ورود مکرر ماقمای جدید به داخل مخزن شناخته می‌شوند، شیب نمودارها منفی است (Marsh, 1998). ظهور شیب منفی نشانه

و گرانودیوریت و دایک‌ها در محدوده دیوریت و گابرو قرار گرفته‌اند. نبود قرابت خانوادگی و وجود روندهای متفاوت در نمودارهای تغییرات عناصر اصلی و فرعی در برابر سیلیس در توده نفوذی و دایک‌های دریتی می‌تواند نشان‌دهنده وجود دو منشاء متفاوت برای تشکیل آنها باشد.

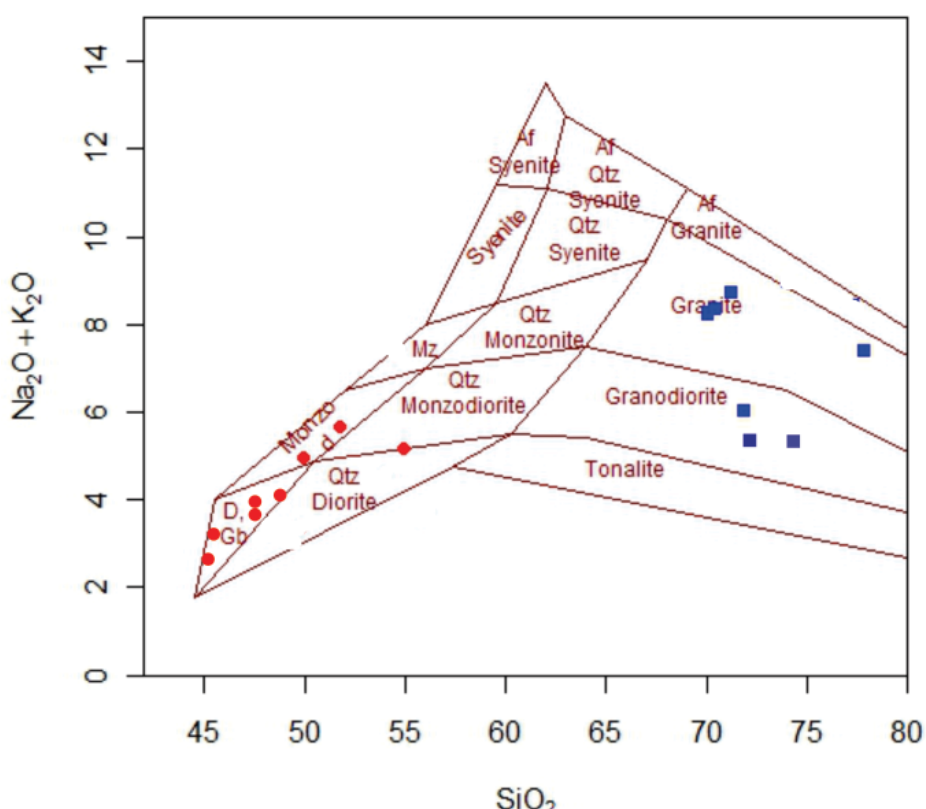
گرانیتوئیدها

روندهای منفی اکسیدهای CaO , MgO , TiO_2 , FeO در برابر سیلیس در سنگ‌های گرانیتی توده نفوذی نشان‌دهنده تبلور کانی‌های فرومینیزیم مطابق با روند عادی تفریق می‌باشد. پراکندگی در روند تغییرات اکسیدهای Na_2O و K_2O در گرانیتوئیدها می‌تواند نشان‌دهنده اختلاط یا آلاش در ماقما و یا فرایندهای بعدی دگرسانی باشد. در نمونه‌های گرانیتی و گرانودیوریتی روند تغییرات P_2O_5 در برابر سیلیس منفی بوده که از ویژگی‌های گرانیت‌های تیپ I می‌باشد. به منظور بررسی تحولات ماقمایی و ارزیابی فرایندهای موثر بر تشکیل و تحول سنگ‌های گرانیتی منطقه از نمودار تغییرات La/Yb در برابر La/Yb استفاده شده است (شکل ۵). این نمودار برای تمایز فرایندهای تفریق بلوری از ذوب بخشی به کار می‌رود (Wang et al., 2007). چنانچه ملاحظه می‌شود، نمونه‌های مورد نظر روند تغییرات عناصر Na_2O , MgO , TiO_2 در برابر سیلیس می‌باشد. با توجه به کانی‌شناسی نمونه‌ها، FeO

دانه‌ها نسبت به چگالی تجمعی ($S=1/G*t$), می‌توان زمان توقف ماقما و یا تبلور بلورها (t) را محاسبه نمود. میزان G بر اساس پیشنهاد (1993) و Cashman (2008) Armienti در 10^{-11} در نظر گرفته شده است. اگر میزان هسته‌بندی و رشد برابر باشند، CSD افقی و بدون شب است و هرچه اختلاف این دو بیشتر باشد میزان شب بیشتر است. در مورد نمونه‌های مطالعه شده، زمان توقف ماقما در آشیانه ماقمایی و تبلور بلورهای پلاژیوکلاز، براساس شب به دست آمده از نمودارهای بین ۱۱۹ تا ۳۲۲ سال و زمان تبلور بلورهای ارتوکلاز بین ۴۲۲ تا ۲۰۳ سال ارزیابی شده است.

خصوصیات ژئوشیمیایی

به منظور تایید نتایج به دست آمده از روش توزیع اندازه بلورها (CSD) و بررسی تحولات موثر در تشکیل و تکوین سنگ‌های توده نفوذی و دایک‌های درون آن از داده‌های ژئوشیمیایی نیز استفاده شده است. نتایج آنالیز ژئوشیمیایی ۸ نمونه از دایک‌های دریتی و ۷ نمونه از سنگ‌های گرانیتی توده نفوذی نصرند در جدول ۳ درج شده است. میزان سیلیس در این نمونه‌ها بین ۴۶ تا ۷۷ درصد متغیر می‌باشد. به منظور نامگذاری این نمونه‌ها از نمودار تغییرات $\text{SiO}_2/\text{Na}_2\text{O}+\text{K}_2\text{O}$ در مقابل (Middelmost, 1994) استفاده شده و همانطور که در شکل ۴ مشاهده می‌شود نمونه‌های مربوط به توده نفوذی در محدوده ترکیبی گرانیت



شکل ۴. نمودار TAS برای طبقه‌بندی سنگ‌های آذرین درونی (Middelmost, 1994). علامت ■ مربوط به واحد گرانیتی و ● مربوط به دایک‌ها می‌باشد.

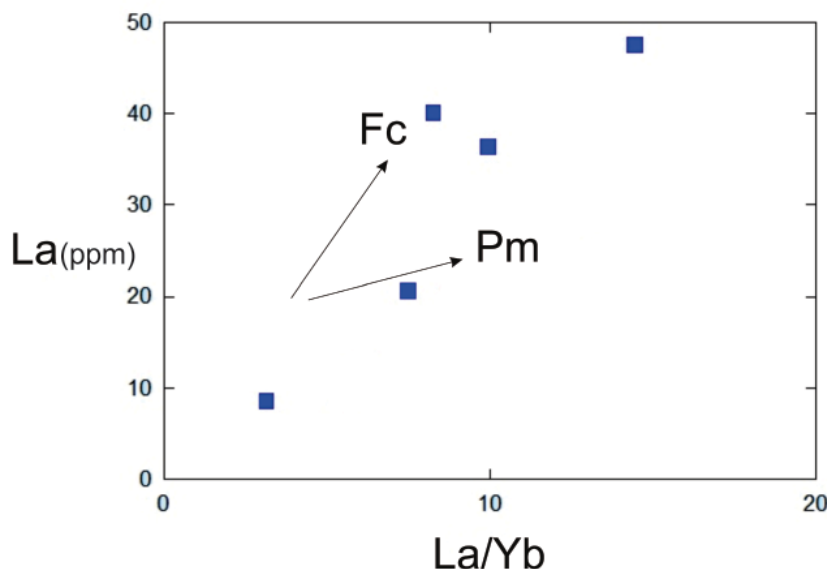
جدول ۳. نتایج آنالیزهای ژئوشیمیابی XRF و ICP-MS توده نفوذی نصرند و دایکهای موجود در آن

Sample	Granitoid							Diabase dike							
	N10	N12	N14	N17	N18	N31	N35	A7	N32	N38	N15	N33	N34	N27	N45
SiO ₂	70.08	71.89	70.42	74.07	77.32	71.22	77.88	49.95	54.49	54.93	49.84	48.18	55.77	51.76	53.96
TiO ₂	0.43	0.28	0.36	0.27	0.12	0.34	0.16	1.38	0.96	0.95	1.11	0.94	0.69	1.08	0.87
Al ₂ O ₃	14.52	13.46	14.31	13.92	12.08	14.64	12.53	17.91	16.72	17.99	17.28	17.49	17.97	17.37	18.39
Fe ₂ O ₃	3.30	2.75	3.28	1.11	1.21	1.87	0.78	10.37	9.53	9.91	10.38	11.28	7.78	10.47	9.12
MgO	0.91	0.03	0.83	0.36	0.11	0.70	0.19	5.36	4.48	3.72	6.63	9.31	5.40	5.78	5.02
MnO	0.07	0.04	0.05	0.03	0.02	0.03	0.02	0.16	0.20	0.17	0.20	0.25	0.14	0.24	0.16
CaO	2.21	5.48	2.31	1.23	0.73	2.39	1.08	9.43	5.91	6.93	10.35	8.74	8.38	7.11	7.75
Na ₂ O	3.74	2.97	3.38	4.03	2.68	3.55	3.64	3.74	4.73	4.11	2.17	2.17	3.25	3.83	3.78
K ₂ O	4.50	3.04	4.97	4.94	5.74	5.18	3.74	1.24	2.71	1.07	1.20	1.08	0.48	1.84	0.78
P ₂ O ₅	0.10	0.06	0.09	0.05	0.01	0.08	0.01	0.45	0.25	0.22	0.37	0.18	0.14	0.23	0.17
Ba	808.00	151.00	822.00	-	-	956.00	666.00	357.00	1110.00	381.00	-	446.00	234.00	-	344.00
Ce	72.23	82.20	80.80	-	-	52.70	23.40	44.00	55.30	27.60	-	22.70	19.00	-	21.20
Dy	5.09	66.33	4.56	0	0	3.89	3.59	4.69	4.02	3.71	0	3.4	2.76	0	3.27
La	36.40	40.10	47.50	-	-	20.60	8.60	20.50	27.60	13.00	-	10.40	8.90	-	9.70
Nb	16.30	20.40	14.30	-	-	14.60	15.50	11.10	8.30	4.50	-	3.40	3.50	-	3.70
Rb	165.00	253.00	161.00	-	-	148.00	119.50	24.60	7.72	30.80	-	34.40	24.60	-	19.90
Sr	194.00	47.50	194.00	-	-	234.00	178.00	559.00	262.00	437.00	-	378.00	559.00	-	387.00
Y	32.80	43.20	29.10	-	-	25.90	23.00	26.00	23.20	22.00	-	18.80	16.20	-	19.40
Yb	3.66	4.86	3.29	-	-	2.75	2.75	2.35	2.18	2.10	-	1.72	1.62	-	1.89
Zr	290.00	150.00	260.00	-	-	210.00	130.00	140.00	140.00	100.00	-	60.00	60.00	-	90.00
Er	3.41	3.06	4.37	-	-	2.59	2.47	2.57	2.28	2.18	-	1.99	1.64	-	1.87
Eu	0.75	0.71	0.16	-	-	0.75	0.23	1.54	1.30	1.19	-	1.04	0.82	-	0.99
Ga	16.70	16.40	13.70	-	-	15.60	14.20	19.00	18.10	19.80	-	18.30	17.80	-	18.30
Gd	4.85	4.47	5.35	-	-	3.81	3.20	5.01	4.46	3.77	-	3.45	2.65	-	3.26
Hf	7.80	7.10	5.50	-	-	5.70	4.60	3.10	3.40	2.60	-	1.70	1.70	-	2.30
Ho	1.12	0.99	1.41	-	-	0.86	0.79	0.94	0.84	0.79	-	0.70	0.58	-	0.68
Lu	0.61	0.57	0.83	-	-	0.46	0.45	0.37	0.36	0.35	-	0.29	0.27	-	0.30
Nd	26.90	27.50	29.30	-	-	22.00	13.70	22.20	23.10	14.80	-	12.90	9.80	-	11.60
Pr	7.72	7.99	8.57	-	-	6.22	3.27	5.35	6.24	3.67	-	2.90	2.35	-	2.79
Sm	5.11	4.98	5.91	-	-	4.26	3.29	4.64	4.71	3.62	-	3.15	4.64	-	3.07
Ta	1.50	1.30	2.40	-	-	1.20	2.20	0.70	0.60	0.30	-	0.20	0.70	-	0.30
Tb	0.86	0.77	1.00	-	-	0.66	0.58	0.81	0.71	0.61	-	0.59	0.81	-	0.54
Th	23.20	28.90	54.60	-	-	31.40	35.30	2.35	9.54	1.54	-	1.54	2.35	-	1.17
Tm	0.54	0.48	0.71	-	-	0.41	0.39	0.37	0.34	0.33	-	0.28	0.25	-	0.29
U	6.46	8.22	12.50	-	-	5.37	5.28	0.61	2.30	0.43	-	0.31	0.26	-	0.35
V	47.00	44.00	<5	-	-	37.00	5.00	264.00	240.00	228.00	-	294.00	192.00	-	220.00

حين رشد بلور به وجود آمده است. در خصوص نحوه تشکیل بافت غربالی اعتقاد بر این است که ناپایداری جزیی بخشی از بلور در مذاب، باعث ذوب و تبلور درجا (و مجده) بخش های ذوب شده می گردد (Tsuchiyama, 1985; Stamatelopou- lou, 1990) وجود پلازیوکلاز دونسلی که حاکی از شرایط آشفته مخزن ماقمایی و عدم پایداری در طی تشکیل پلازیوکلازها است و (۳) بافت پوئی کلیتیک در بلورهای فلدسپار. این شواهد بیانگر آن است که در تحول ماقمای سازنده توده نفوذی علاوه بر

برای بررسی این که تبلور کدام کانی در تحول واحدهای اسیدی و مافیک - حدواتر موثرتر بوده از نمودارهای شکل ۶ الف و ب استفاده شده است. نمودار تغییرات Sr در برابر Ba (et al., 2007) (شکل ۶ الف) نشان دهنده تفریق پتابسیم فلدسپار در گرانیت هاست.

چنانچه در مبحث پتروگرافی اشاره شد در نمونه های گرانیتی شواهد پتروگرافی زیر مشاهده می شود: (۱) زونینگ و بافت غربالی در پلازیوکلازها که بر اثر تغییر شرایط تبلور مذاب در



شکل ۵. نمودار تغییرات La در برابر La/Yb که بیانگر تفریق بلوری به عنوان یکی از عوامل موثر در تشکیل سنگ‌های گرانیتی منطقه است (Wang et al., 2007).

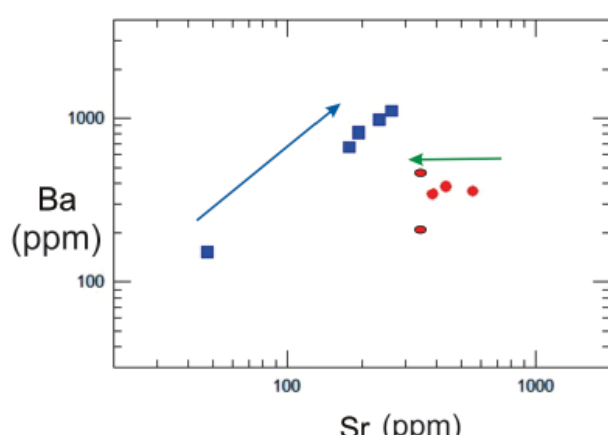
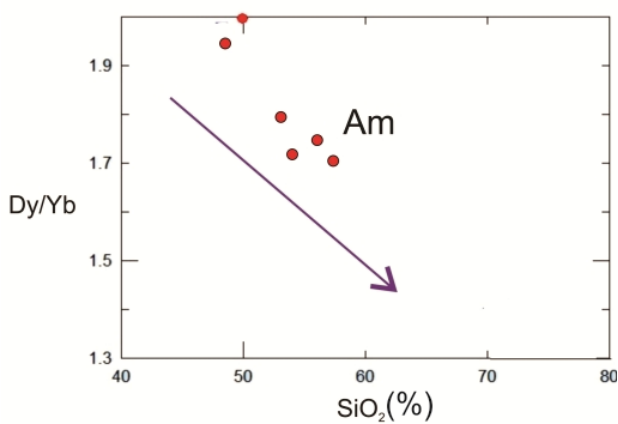
تلور پلازیوکلاز با افزایش تحول ماقما نسبت داد. در این واحد نیز روند تغییرات عناصر O₂ و Na₂O دارای پراکنده‌گی می‌باشد که می‌تواند به دلیل آلایش، دگرسانی یا اختلاط باشد. نمودار SiO₂ در برابر Dy/Yb (شکل ۶-ب) بیانگر تفریق هورنبلندر دایک‌های دلریتی منطقه است (Jicha and Singer, 2006).

وجود زنوكریست کوارتز با غلافی از پیروکسن‌های دما بالا در دایک‌ها نشانه عدم تعادل کوارتز در ماقما سازنده دایک‌ها بوده و دلالت بر آلایش ماقما می‌باشد. حضور زنوكریست‌های کوارتز گردشده را می‌توان به میزان دارد. حضور زنوكریست‌های کوارتز از یک سیستم اسیدی به انتقال مکانیکی زنوكریست‌های کوارتز از یک ماقما بازیک نسبت داد (Hibbard, 1991; Bussy and Ayrton, 1990). وجود پراکنده‌گی در روند تغییرات عناصر O₂ و Na₂O در برابر سیلیس نیز می‌تواند موید پدیده آلایش در نمونه‌ها باشد. چنانچه در نمودار تغییرات Nb در برابر Y (شکل ۸-الف) و

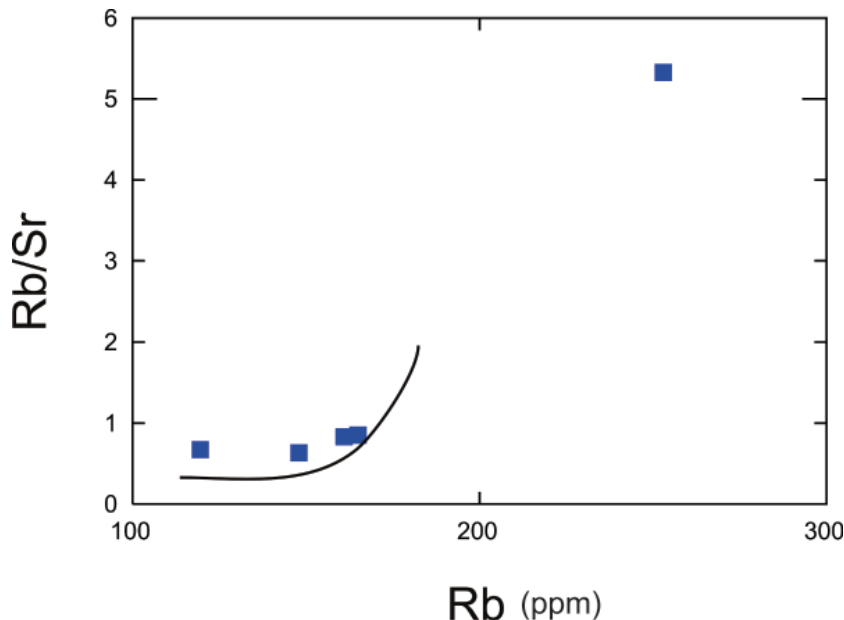
تفریق بلوری، عوامل دیگری چون آلایش ماقما و اختلاط نیز تاثیر بهسزایی داشته‌اند (Pudlo and Franz, 1995). همانطور که در شکل ۷ ملاحظه می‌شود، روند افزایشی ملایم Rb/Sr نسبت به Rb در گرانیت‌ها می‌تواند حاکی از اختلاط ماقما باشد، چراکه Rb نسبت به Sr ناسازگارتر بوده و در حین تفریق ماقما باستی روند صعودی پرشیبی را نشان دهد. بنابراین به نظر می‌رسد ورود Sr موجود در ماقما جدید به مخزن ماقما منجر به روند صعودی ملایم در نمونه‌های مذکور شده باشد.

دایک‌های دلریتی

در دایک‌های دلریتی، روند تغییرات عناصر اصلی در برابر سیلیس به جز در مورد Al₂O₃ مانند گرانیت‌ها است که می‌توان روند افزایشی این عنصر در برابر سیلیس را به برتری تبلور پیروکسن در مراحل ابتدایی تبلور ماقما و بر عکس به برتری



شکل ۶. الف) نمودار Sr در برابر Ba که نشان‌دهنده تفریق فلدسپار پتانسیم در گرانیت‌ها است (Bozrug et al., 2007)، ب) نمودار SiO₂ در برابر Dy/Yb که بیانگر تفریق هورنبلندر در دایک‌ها است (Jicha and Singer, 2006).



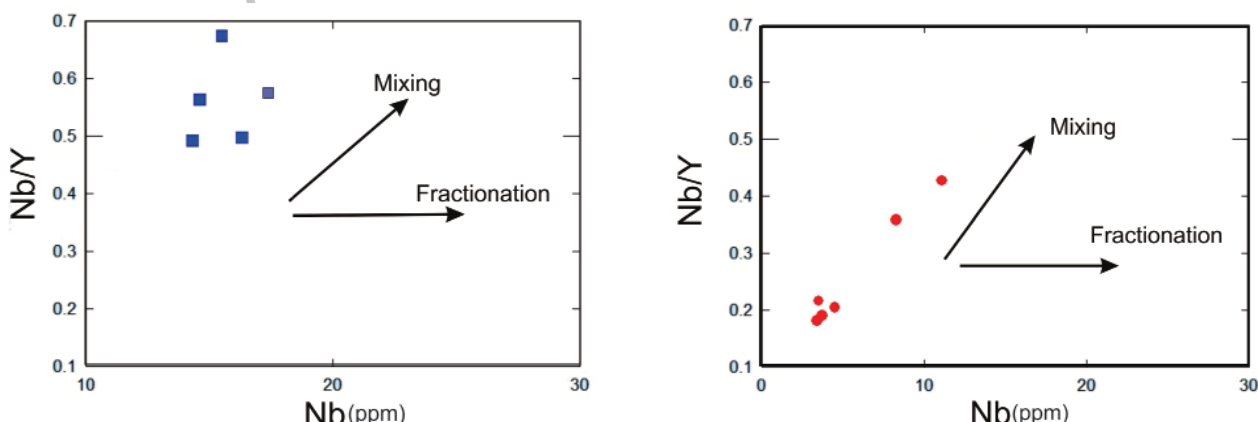
شکل ۷. روند منحنی Rb/Sr در برابر Rb در سنگ‌های گرانیتی که می‌تواند نشان‌دهنده ورود یک ماقمای جدید به مخزن ماقمایی و بیانگر فرایند اختلاط ماقمایی باشد (Xu, et al., 1999).

بررسی توزیع اندازه بلورهای پلازیوکلاز و ارتوكلاز در نمونه‌های گرانیتی وجود شکستگی و انحنا در تعدادی از نمودارهای نیمه لگاریتمی نیز نشان دهنده ورود ماقمای جدید به مخزن ماقمایی و موید فرایند اختلاط ماقمایی در نمونه‌ها می‌باشد. ویژگی‌های ژئوشیمیایی از قبیل روند افزایشی نمودار Nb در برابر Y و Rb در برابر Rb/Sr می‌توانند تاییدی بر وقوع فرایند اختلاط ماقمایی در گرانیت‌های منطقه باشند. شایان ذکر است که از بین شواهد ارائه شده، داده‌های ژئوشیمیایی و بافتی نسبت به اطلاعات CSD به نحو مطلوب‌تر و واضح‌تری به وقوع اختلاط ماقمایی دلالت دارند. از آنجاکه روش مطالعاتی توزیع اندازه بلورها در اثبات فرایند اختلاط ماقمایی، مبتنی بر فرض متفاوت‌بودن نسبی اندازه بلورها در دو ماقمای مخلوط‌شده است، به نظر می‌رسد که تفاوت اندازه بلورها در دو ماقمای مخلوط شده نسبتاً کم بوده و یا این‌که تداوم رشد بلورها بعد از اختلاط باعث نزدیک شدن

ب) ملاحظه می‌کنیم، نمونه‌های مورد مطالعه روند صعودی دارند. Nb و Y هر دو عنصری ناسازگار می‌باشند که طی روند تفریق، مقدار آن‌ها باید تقریباً ثابت باقی بماند، اما همانطور که در شکل ۸ مشاهده می‌شود این نسبت در نمونه‌ها تغییر یافته است. این روند غیرطبیعی می‌تواند نشانه ورود ماقمای با ترکیب جدید در کنار ماقمای قبلی و وقوع فرایند آلایش ماقمایی باشد.

نتیجه‌گیری

توده گرانیتوئیدی نصرند پس از انسن به درون واحدهای آتش‌فشاری ائوسن نفوذ کرده و توسط دایک‌های دلریتی با ترکیب گابرو و دیوریت قطع شده است. شواهد پتروگرافی موجود در توده نفوذی مانند بافت غربالی، پوئی‌کلینیک و زونینگ در پلازیوکلازها، می‌تواند نشانه‌ای از وقوع شرایط غیرتعادلی در مخزن ماقمایی و موید فرایند اختلاط ماقمایی در گرانیت‌ها باشد.



شکل ۸ افزایش میزان Nb در برابر Y/Nb که می‌تواند نشان دهنده آلایش ماقمایی در دایک‌ها (الف) و توده نفوذی (ب) باشد (Treuil and Joron, 1975).

- Armienti, P., 2008. Description of igneous rock textures: crystal size distribution tools In: Minerals, Inclusions and Volcanic Processes. *Review of Mineralogy*, 69, 623–648.

- Berberian, F., Muir, I.D., Pankhurst, R.J., and Berberian, M., 1982. Late Cretaceous and early Miocene Andean-type plutonic activity in northern Makran and Central Iran: *Journal of the Geological Society of London*, 139, 605–614.

- Berberian, M. and King, G.C.P., 1981. Towards a paleogeography and tectonic evolution of Iran. *Canadian Journal of Earth Science*, 18, 210–265.

- Barker, D.S., 1983. Igneous Rocks. Prentice-Hall, New Jersey, 417.

- Bozrug, D., Arehart, G.B., Platevote, B., Harlavan, Y. and Bonine, B., 2007. High-K calc-alkaline I-type granitoides from the composite Yozgat batholith generated in post collisional setting following continent oceanic island arc collision in central Anatolia Turkey. *Mineralogy and Petrology*, 91, 191-223.

- Brugger Carrie, R. and Hammer Julia, E., 2010. Crystal size distribution analysis of plagioclase in experimentally decompressed hydrous rhyodacite magma. *Earth and Planetary Science Letters*, 300, 246–254.

- Bussy, F. and Ayrton, S., 1990. Quartz textures in dioritic rocks of hybrid origin. *Schweizerische Mineralogische und Petrographische Mitteilungen*, 70, 223-235.

- Cashman, K. V., 1988. Crystallization of Mount St. Helens 1980–1986 dacite: a quantitative textural approach. *Bulletin of Volcanology*, 50, 194–209.

- Cashman, K.V., 1990. Textural constraints on the kinetics of crystallization of igneous rocks. *Review of Mineralogy*, 24, 259–314.

- Cashman, K.V., 1993. Relationship between plagioclase crystallization and cooling rate in basaltic melts. *Contributions to Mineralogy and Petrology*, 113, 126–142.

- Chiaradia, M., Müntener, O. and Beate, B., 2011. Enriched basaltic andesites from mid-crustal fractional crystallization, recharge, and assimilation (Pilavo Volcano, Western Cordillera of Ecuador). *Journal of Petrology*, 52, 1107–1141.

- Foley, F.V., Pearson, N.J., Rushmer, T., Turner, S. and Adam, J., 2013. Magmatic evolution and magma mixing of quaternary adakites at Solander and Little Solander Islands, New Zealand. *Journal of Petrology*, 54, 703–744.

اندازه بلورهای مختلف بهم شده است و این عوامل مانع از ظهور شکستگی‌های واضح در نمودارهای نیمه لگاریتمی نمونه‌ها شده است. علاوه بر آن فرایند درشت‌شدگی بافتی نیز می‌تواند باعث یکنواخت شدن اندازه دانه‌ها شود. به این صورت که بلورهای خیلی کوچک به دلیل داشتن انرژی سطحی بیشتر در مذاب حل شده و در رشد بلورهای بزرگ‌تر مورد استفاده قرار گیرند و باعث یکنواختی اندازه بلورها شوند.

حضور پلاژیوکلازهای دونسلی، بافت غربالی و زنگریست کوارتز با حاشیه پیروکسن در دایک‌های دلیریتی نیز می‌تواند نشان‌دهنده وقوع فرایند آلایش یا اختلاط در مagma‌سازنده دایک‌ها باشد. در نمودارهای نیمه لگاریتمی دایک‌ها نیز انحنا به سمت پایین و کاهش چگالی تجمعی نمونه‌ها نشان‌دهنده فرایند تبلور و افزایش اندازه دانه‌ها است. شکستگی و انحنا در نمودارهای نیمه لگاریتمی دایک‌ها نسبت به گرانیت‌ها کمتر است که این موضوع می‌تواند به دلیل تاثیر اکتلاط شیمیابی در دایک‌ها نسبت به گرانیت‌ها باشد.

منابع

- آفتابی، س.ع.، ۱۳۸۳. زمین‌شناسی ایران. سازمان زمین‌شناسی و اکتشافات ژئوشیمیابی کشور، تهران، ۵۸۶.
- احمدوند، ا.، ۱۳۸۷. ژئوشیمی و پترولوری سنگ‌های آتش‌فشاری بازیک جنوب غرب شهراب (اردستان)، دانشکده علوم، دانشگاه تربیت مدرس، ۷۹.
- بحروفی، ع.، ۱۳۷۸. نقشه زمین‌شناسی ۱:۱۰۰۰۰ شهراب. سازمان زمین‌شناسی و اکتشافات معدنی کشور.
- قفاری، م.، ۱۳۸۹. پتروگرافی و ژئوشیمی توده گرانیت‌وئیدی ظفرقد (جنوب شرق اردستان)، دانشکده علوم پایه، دانشگاه صنعتی شاهرود، ۲۳۰.
- عموزاده خلیلی، د.، ۱۳۸۸. ژئوشیمی و پترولوری سنگ‌های آتش‌فشاری جنوب غرب شهراب (اردستان)، دانشکده علوم دانشگاه تربیت مدرس، ۶۰.
- مجلل، م.، ۱۳۷۹. نقش فضاهای کششی نرده‌بانی (En-echelon) در فعالیت سنگ‌های آذرین در منطقه کاشان-اردستان، الگویی برای شکل‌گیری کمان مagma‌ی ارومیه-دختر. نویزدهمین گرده‌همایی علوم زمین، سازمان زمین‌شناسی و اکتشافات معدنی کشور، تهران.
- محمدی، س.، ۱۳۷۴. بررسی ولکانیسم ترشیاری منطقه اردستان (ایران مرکزی). دانشکده علوم زمین، دانشگاه شهید بهشتی تهران، ۳۵۰.
- یگانه فر، ۵.، ۱۳۸۶. ژئوشیمی و پترولوری سنگ‌های آتش‌فشاری جنوب اردستان، دانشکده علوم، دانشگاه تربیت مدرس، ۹۱.
- Aftabi, A., and Atapour, H., 2000. Regional aspects of shoshonitic volcanism in Iran. *Episodes*, 23, 119-124.

- Hibbard, M.J., 1991. Textural anatomy of twelve magma mixed granitoid systems. In Enclaves and Granite Petrology. Didier, J. and Barbarin, B., Elsevier, 13, 431-444.
- Higgins, M. D. 1998. Origin of anorthosite by textural coarsening: Quantitative measurements of a natural sequence of textural development. *Journal of Petrology*, 39, 1307-1323.
- Higgins, M. D., 2000. Measurement of crystal size distributions. *American Mineralogist*, 85, 1105-1116.
- Higgins, M.D., 2002. Closure in crystal size distributions (CSD), verification of CSD calculations, and the significance of CSD fans. *American Mineralogist*, 87, 171-175.
- Higgins, M.D., and Roberge, J., 2007. Three magmatic components in the 1973 eruption of Eldfell volcano, Iceland: evidence from plagioclase crystal size distribution (CSD) and geochemistry. *Journal of Volcanology and Geothermal Research*, 161, 247-260.
- Holton, T., Jamtveit B. and Meakin, P., 2000. Noise and oscillatory zoning of minerals. *Geochimica et Cosmochimica Acta*, 64, 1893-1904.
- Jicha, B.R., and Singer, B.S., 2006. Volcanic history and magmatic evolution of Seguam Island, Aleutian Island arc, Alaska. *Geological Society of America Bulletin*, 118, 805-822.
- Marsh, B. D., 1988. Crystal size distribution (CSD) in rocks and the kinetics and dynamics of crystallization I. Theory. *Contributions to Mineralogy and Petrology*, 99, 277-291
- Marsh, B. D., 1998., On the interpretation of crystal size distributions in magmatic systems. *Journal of Petrology*, 39, 4, 553-599.
- Middelmost, E. A. K., 1994. Naming materials in the magma/igneous rock system. *Earth Sciences Reviews* 37, 215-224.
- Moine-Vaziri, H., 1985. Volcanisme tertiaire et quaternaire en Iran. Doctorat d'état, Université Paris-Sud , Orsay, P?
- Morgan, D.J., Jerram, D.A., Chertkoff, D.G., Davidson, J.P., Pearson, D.G., Kronz, A. and Nowell, G.M., 2007. Combining CSD and isotopic microanalysis: magma supply and mixing processes at Stromboli Volcano, Aeolian Islands, Italy. *Earth and Planetary Science Letters*, 260, 419-431.
- Nowroozi, A., 1971. Seismotectonic of the Persian Plateau, eastern Turkey, Caucasus, and Hindu-Kush regions. *Seismolgical Society*, 61, 317-341.
- Pourhosseini, F., 1981. Petrogenesis of Iranian plutons, a study of the Natanz and Bazman Intrusive complexes, Ph.D. Thesis, Cambridge University. Geological Survey of Iran, 315.
- Pudlo, D., and Franz, G., 1995. Records of deep seated magma chamber processes from plagioclase and amphibole phenocrysts in Pan-African dyke rocks of Bir Safsaf/ SW-Egypt. In: G., Baer and A., Heimann, (Eds.): *Physics and Chemistry of Dykes*. Rotterdam, A.A. Balkema, 339.
- Piochi, M., Mastrolorenzo, G., and Pappalardo, L., 2005. Magma ascent and eruptive processes from textural and compositional features of MonteNuovo pyroclastic products, Campi Flegrei. *Italy Bulletin Volcanology*, 7, 663-678.
- Randolph, A. D., Larson, M. A., 1971. *Theory of Particulate Processes*. New York, Academic Press, 251.
- Randolph, A. D. Larson, M. A., 1988. *Theory of Particulate Processes*. Second edition, New York, Academic Press, 369.
- Salisbury, M.J., Bohrson, W.A., Clyne, M.S., Ramos, F.C. and Hoskin, P., 2008. Multiple plagioclase crystal populations identified by crystal size distribution and in situ chemical data: implications for timescales of magma chamber processes associated with the 1915 eruption of Lassen Peak, CA. *Journal of Petrology*, 49, 1755-1780.
- Shahabpour, J., 2005. Tectonic evelotion of the orogenic belt in the region located between Kerman and Neyriz. *Journal of Asian Earth Science*, 240, 405-417.
- Stamatelopoulou-Seymour, K., Vlassopoulos, D., Pearce, T.H. and Rice, C., 1990. The record of phenocrysts at Thera Volcano, Aegean Volcanic Arc, Greece. magma chamber processes in plagioclase. *Contributions to Mineralogy and Petrology*, 104, 73-84.
- Treuil, M. and Joron, J.L., 1975. Utilisation des éléments hygromag- matophiles pour la simplification de la modelisation quantita- tive des processus magmatiques. Exemples de l'Afar et de la Dorsale Medioatlantique *Rend. Society Italy Mineralogy and Petrology*, 31, 125-174.
- Tsuchiyama, A., 1985. Dissolution kinetics of plagioclase in the melt system diopside-albite-anorthite, and origin of dusty plagioclase in an- desites. *Contributions to Mineralogy and Petrology*, 89, 1-16.

- Vernon, R.H., 2004. A Practical Guide to Rock Microstructural, Cambridge, 594.
- Wang, X., Li, X., Li, W. and Li, Z., 2007. Ca. 825 Ma komatiitic basalts in South China: First evidence for >1500 degrees C mantle melts by a Rodinian mantle plume. *Geology*, 35, 1103-1106.
- Xu, X., Dong, C., Li, W., Zhou, X., 1999. Late Mesozoic intrusive complexes in the coastal area of Fujian SE China: the significance of the gabbro-diorite-granite association, *Lithos*, 46, 299–315.

Archive of SID